

[7] Yamamoto Y., Machida S.,  
Imoto N. et al. // J. Opt. Soc. Am. B. 1987.  
V. 4. N 10. P. 1645-1662.

Московский государственный  
университет им. М.В. Ломоносова

Поступило в Редакцию  
10 октября 1988 г.  
В окончательной редакции  
11 января 1989 г.

Письма в ЖТФ, том 15, вып. 10

26 мая 1989 г.

04

## ДИНАМИКА И ИЗЛУЧАТЕЛЬНЫЕ ХАРАКТЕРИСТИКИ НАНОСЕКУНДНЫХ МЕГААМПЕРНЫХ $\chi$ -ПИНЧЕЙ

С.Л. Б о г о л ю б с к и й, С.А. Д а н ъ к о,  
П.В. К у к с о в, В.И. Л и к с о н о в,  
А.А. Л у к и н, Е.А. С м и р н о в а

В последнее время активно дискутируется возможность зажигания термоядерной реакции в перетяжке  $\chi$ -пинча [1] при сжатии токонесущего плазменного канала до микронных размеров. Однако образованию микропинча может воспрепятствовать механизм стабилизации перетяжки „остаточной“ высокопроводящей плазмой сходящейся снаружи токовой оболочки [2]. Динамика плазменных каналов взрывающихся проволочек и механизм формирования в них микропинчей, так называемых „горячих точек“ (ГТ) ранее были подробно исследованы в экспериментах на уровне тока 0.2 мА [3]. Использование в них средств регистрации изображений с разрешением не лучше 80–100 мкм ограничило полученную информацию о минимально достигаемом размере перетяжки указанной величиной.

В данной работе для получения изображения  $\chi$ -пинча использовалась вакуумная камера-обскура с отверстием квадратного сечения 8×8 мкм, снабженная алюминиевыми фильтрами толщиной 5 и 10 мкм, имевшая разрешение для квантов с энергией  $E_h \nu \geq 1$  кэВ с учетом дифракционного размытия не хуже 25 мкм. Измерения мощности радиационных потерь и их спектрально-энергетических характеристик осуществлялись с помощью откалиброванных полупроводниковых и вакуумных фотоэмиссионных детекторов с фильтрами Роска и неселективными поглотителями. Как и в работах [4, 5], использовался интегральный термобатарейный калориметр.

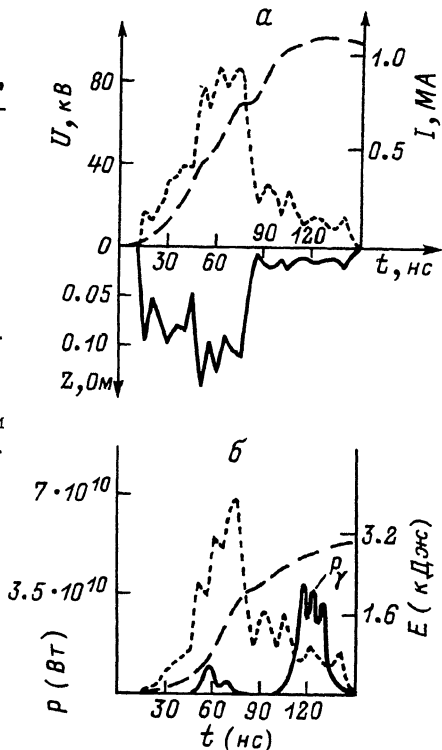
Эксперименты проводились на установке „Модуль-А5“ с импульсным трансформатором тока, имеющим выходное сопротивление  $R_T = 0.04$  Ом [6]. В оптимальном режиме при длине проволочки 2.5–3 мм ток, подводимый к низкоиндуктивному узлу с проволочкой, составлял 1.2 мА. На рис. 1,а представлены характерные для оптимального режима осциллограммы тока, напряжения (за вычетом

Рис. 1. а) Осциллограммы тока, подводимого к проволочке (1) напряжения (за вычетом индуктивной составляющей) (2), импеданса (3). б) Кривые мощности (1) и энергии (2), подводимой к нагрузке, осциллограмма сигнала мягкого рентгеновского излучения (3).

индуктивной составляющей) и импеданса. Индуктивная составляющая напряжения определялась по данным о размерах плазменного канала, полученным с помощью кадровых рентгеновских ЭОП, в предположении протекания измеренного тока по этому каналу. Кривые мощности и энергии, подводимой к нагрузке, представлены на рис. 1,б.

Исследования динамики проволочки, взрываемой током 1.2 мА, показали, что, как и в экспериментах на уровне тока 0.2 мА [3], сначала формируется плазменный канал, постепенно расширяющийся до  $\varnothing$  400–500 мкм, для которого характерно наличие в районе максимума рентгеновского излучения горячей, прозрачной для собственного излучения плазменной короны, сохраняющей в течение  $\sim 10$  нс достаточно однородную трубчатую структуру, тем самым представляя из себя объект, перспективный для получения индуцированного излучения [7]. Затем, как и в [3], в плазменной короне возникают перегретые кольцевые образования; сжатие плазменного канала в области некоторых из них за время  $< 10$  нс приводит к формированию ГТ. На рис. 2,а представлен момент формирования ГТ при сжатии одного из кольцевых образований, где наблюдается распухание плазменного канала в соседней области, связанное с перетеканием туда вещества из области перетяжки. Минимальный диаметр ГТ, зарегистрированный с помощью интегральной камеры-обскуры, составлял (25–30) мкм, т.е. определялся разрешением методики.

Мягкое рентгеновское излучение плазменного канала испускалось, как правило, в виде двух импульсов: меньшего по амплитуде – на фронте сигнала тока, и большего, имеющего часто многопичковую структуру, – в районе максимума тока (рис. 1,б). Измерения пока-



а



а

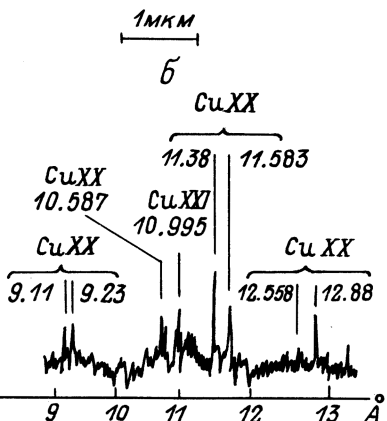


Рис. 2. а) Изображения плазменного канала проволочки, полученные кадровым РЭПом, в момент формирования ГТ. Экспозиция кадра - 4 нс. б) Обзорный спектр излучения плазменного канала взорванной проволочки.

зали, что радиационные потери, мало изменяющиеся при переходе от двадцати к пятидесятимикронной проволочке, определяются диапазоном  $0.9 \leq E_{h\nu} \leq 1.4$  кэВ и составляют по величине ( $300 \pm 50$ ) Дж. С помощью рентгеноносского спектрографа с выпуклым кристаллом из слюды был получен интегральный по объекту обзорный спектр взорванной двадцатимикронной проволочки (рис. 2,б). Из него видно, что определяющая часть линейчатых радиационных потерь обусловлена излучением ионов  $\text{Cu XX}$  и  $\text{Cu XXI}$ .

Полученные экспериментальные результаты позволяют сделать следующие важные выводы.

Оценка на основе полученного из спектра  $\langle Z \rangle$  в рамках корональной модели [8] дает температуру короны  $T_e \approx 1$  кэВ. Из данных по излучательным способностям [8] и измеренной мощности радиационных потерь находим, что доля нагретых частиц, определяющая энергобаланс, составляет несколько процентов от всей массы проволочки. Это совпадает с оценкой  $N_i$ , которую можно сделать, как в [5], из соотношения Беннетта  $I^2(A) = 3.3 \cdot 10^{-10} \cdot N_i \cdot (1 + \langle Z \rangle) \cdot T$  (эВ) и величина радиационных потерь  $Q = n_e \cdot n_i \cdot \pi r^2 \times I \cdot f[T]$ , где  $f[T]$  берется из [8], в предположении протекания большей части тока по плазменной короне.

Расчеты [9], выполненные для экспериментов с медной двадцатимикронной проволочкой, показывают, что при взрыве током 1.2 мА образуется, как и в экспериментах с токами 0.2 мА [4] и 0.5 мА [5], гетерогенный  $Z$ -пинч с горячей плазменной короной, характеризующейся параметрами, близкими к полученным в данном эксперименте.

Поскольку ток в эксперименте фактически на порядок превышал критический ток Брагинского-Пиза, величина которого для плазмы с  $\langle Z \rangle \gg 1$  из-за линейчатого излучения, увеличивающего радиационные потери, снижается до 150–200 кА, то можно утверж-

дать, что режим радиационного коллапса по всей длине  $Z$ -пинча не реализуется.

Экспериментальных данных недостаточно для ответа на вопрос, реализуется ли этот режим в ГТ. Однако полученный размер ГТ  $\sim (20-30)$  мкм, определяемый разрешением методики, показывает, что механизм стабилизации перетяжки [2] до этих размеров не срабатывает; это позволяет сделать оптимистическое предположение о достижимости микронных размеров ГТ при наносекундном сильноточном взрыве проволочек.

В заключение авторы выражают благодарность Л.И. Рудакову за интерес к работе, В.В. Янькову за полезные обсуждения.

#### С п и с о к л и т е р а т у р ы

- [1] Я нько в В.В. // Препринт ИАЭ № 4218/7. М. 1985. 8 с.
- [2] С ас о р о в П.В. // Препринт ИТЭФ № 171. М. 1985. 6 с.
- [3] А и в а з о в И.К., Аранчук Л.Е., Б о г о л ю б - ский С.Л., В о л к о в Г.С. // Письма в ЖЭТФ. 1985. Т. 41. В. 3. С. 111-114.
- [4] Аранчук Л.Е., Б о г о л ю б ский С.Л., Т ель - ков ская О.В. // ЖТФ. 1985. Т. 55. В. 11. С. 2222- 2224.
- [5] Аранчук Л.Е., Б о г о л ю б ский С.Л., В ол - ков Г.С. и др. // Физика плазмы. 1986. Т. 12. В. 11. С. 1324-1328.
- [6] Б улан В.В., Г раб ов ский Е.В., Кален - ский В.Г. и др. // ПТЭ, 1988. № 6. С. 94-96.
- [7] Б о г о л ю б ский С.Л. // Письма в ЖТФ. 1987. Т. 13. В. 15. С. 906-909.
- [8] Po st D.E., Je n s e n P.V., Tar ter C.B. et al. // PPPL-1352. Princeton, 1977.
- [9] Б о б р о в а Н.А., Р азин ков а Т.И., С ас о - ров П.В. // Физика плазмы, 1988. Т. 14. В. 9. С. 1053- 1060.

Институт атомной энергии  
им. И.В. Курчатова

Поступило в Редакцию  
21 декабря 1988 г.  
В окончательной редакции  
с 13 марта 1989 г.